

Starkniederschlagshöhen und -spenden gemäß KOSTRA-DWD-2010R

Auswertungszeitraum von 1951 - 2010, Januar - Dezember

Rasterfeld: 27044

Zeile: 27

Spalte: 44

Seite: 1/2

| Dauerstufe D | Wiederkehrzeit T | | | | | | | | | | | | | | | | | | |
|--------------|------------------|------|------------|------|------------|------|------------|------|------------|------|------------|------|------------|------|------------|------|------------|------|------------|
| | 1 a | | 2 a | | 3 a | | 5 a | | 10 a | | 20 a | | 30 a | | 50 a | | 100 a | | |
| min | Std | mm | l / (s ha) | mm | l / (s ha) | mm | l / (s ha) | mm | l / (s ha) | mm | l / (s ha) | mm | l / (s ha) | mm | l / (s ha) | mm | l / (s ha) | mm | l / (s ha) |
| 5 | | 4,9 | 163,3 | 6,2 | 206,7 | 7,0 | 233,3 | 7,9 | 263,3 | 9,2 | 306,7 | 10,4 | 346,7 | 11,2 | 373,3 | 12,1 | 403,3 | 13,4 | 446,7 |
| 10 | | 7,7 | 128,3 | 9,5 | 158,3 | 10,6 | 176,7 | 11,9 | 198,3 | 13,8 | 230,0 | 15,6 | 260,0 | 16,6 | 276,7 | 18,0 | 300,0 | 19,8 | 330,0 |
| 15 | | 9,5 | 105,6 | 11,7 | 130,0 | 13,1 | 145,6 | 14,7 | 163,3 | 17,0 | 188,9 | 19,2 | 213,3 | 20,5 | 227,8 | 22,2 | 246,7 | 24,4 | 271,1 |
| 20 | | 10,7 | 89,2 | 13,3 | 110,8 | 14,9 | 124,2 | 16,8 | 140,0 | 19,4 | 161,7 | 22,0 | 183,3 | 23,5 | 195,8 | 25,4 | 211,7 | 28,0 | 233,3 |
| 30 | | 12,3 | 68,3 | 15,5 | 86,1 | 17,4 | 96,7 | 19,8 | 110,0 | 23,0 | 127,8 | 26,2 | 145,6 | 28,1 | 156,1 | 30,4 | 168,9 | 33,7 | 187,2 |
| 45 | | 13,7 | 50,7 | 17,7 | 65,6 | 20,0 | 74,1 | 22,9 | 84,8 | 26,8 | 99,3 | 30,8 | 114,1 | 33,1 | 122,6 | 36,0 | 133,3 | 40,0 | 148,1 |
| 60 | | 14,5 | 40,3 | 19,1 | 53,1 | 21,8 | 60,6 | 25,2 | 70,0 | 29,8 | 82,8 | 34,3 | 95,3 | 37,0 | 102,8 | 40,4 | 112,2 | 45,0 | 125,0 |
| 90 | | 15,9 | 29,4 | 20,7 | 38,3 | 23,6 | 43,7 | 27,2 | 50,4 | 32,0 | 59,3 | 36,9 | 68,3 | 39,7 | 73,5 | 43,3 | 80,2 | 48,2 | 89,3 |
| 120 | 2 | 16,9 | 23,5 | 22,0 | 30,6 | 24,9 | 34,6 | 28,7 | 39,9 | 33,7 | 46,8 | 38,8 | 53,9 | 41,8 | 58,1 | 45,5 | 63,2 | 50,6 | 70,3 |
| 180 | 3 | 18,5 | 17,1 | 23,9 | 22,1 | 27,0 | 25,0 | 31,0 | 28,7 | 36,3 | 33,6 | 41,7 | 38,6 | 44,8 | 41,5 | 48,8 | 45,2 | 54,2 | 50,2 |
| 240 | 4 | 19,7 | 13,7 | 25,3 | 17,6 | 28,6 | 19,9 | 32,7 | 22,7 | 38,3 | 26,6 | 43,9 | 30,5 | 47,2 | 32,8 | 51,3 | 35,6 | 56,9 | 39,5 |
| 360 | 6 | 21,6 | 10,0 | 27,5 | 12,7 | 31,0 | 14,4 | 35,3 | 16,3 | 41,3 | 19,1 | 47,2 | 21,9 | 50,7 | 23,5 | 55,0 | 25,5 | 60,9 | 28,2 |
| 540 | 9 | 23,6 | 7,3 | 29,9 | 9,2 | 33,6 | 10,4 | 38,2 | 11,8 | 44,5 | 13,7 | 50,7 | 15,6 | 54,4 | 16,8 | 59,0 | 18,2 | 65,3 | 20,2 |
| 720 | 12 | 25,2 | 5,8 | 31,7 | 7,3 | 35,6 | 8,2 | 40,4 | 9,4 | 46,9 | 10,9 | 53,4 | 12,4 | 57,3 | 13,3 | 62,1 | 14,4 | 68,6 | 15,9 |
| 1080 | 18 | 27,6 | 4,3 | 34,5 | 5,3 | 38,5 | 5,9 | 43,6 | 6,7 | 50,6 | 7,8 | 57,5 | 8,9 | 61,5 | 9,5 | 66,6 | 10,3 | 73,6 | 11,4 |
| 1440 | 24 | 29,4 | 3,4 | 36,6 | 4,2 | 40,8 | 4,7 | 46,1 | 5,3 | 53,4 | 6,2 | 60,6 | 7,0 | 64,8 | 7,5 | 70,1 | 8,1 | 77,3 | 8,9 |
| 2880 | 48 | 36,0 | 2,1 | 43,8 | 2,5 | 48,4 | 2,8 | 54,1 | 3,1 | 61,9 | 3,6 | 69,7 | 4,0 | 74,3 | 4,3 | 80,0 | 4,6 | 87,8 | 5,1 |
| 4320 | 72 | 40,6 | 1,6 | 48,7 | 1,9 | 53,5 | 2,1 | 59,5 | 2,3 | 67,6 | 2,6 | 75,7 | 2,9 | 80,5 | 3,1 | 86,5 | 3,3 | 94,6 | 3,6 |

Angaben in mm: Bemessungsniederschlagswerte h(n)

Angaben in l / (s ha): Regenspende R(n) mit $R(n) = h(n) \times 1,666667 / D[\text{min}]$

Toleranzbereiche:

+/- 10 % für $1 a \leq T \leq 5 a$

+/- 15 % für $5 a < T \leq 50 a$

+/- 20 % für $50 a < T \leq 100 a$

Datenbasis: KOSTRA-DWD-2010R des Deutschen Wetterdienstes. Die Regenspende wurde auf Basis des Bemessungsniederschlags zur jeweiligen Andauer berechnet.

Für die Richtigkeit und Aktualität der Angaben wird keine Gewähr übernommen. Erstellt 07/2022.

Starkniederschlagshöhen und -spenden gemäß KOSTRA-DWD-2010R

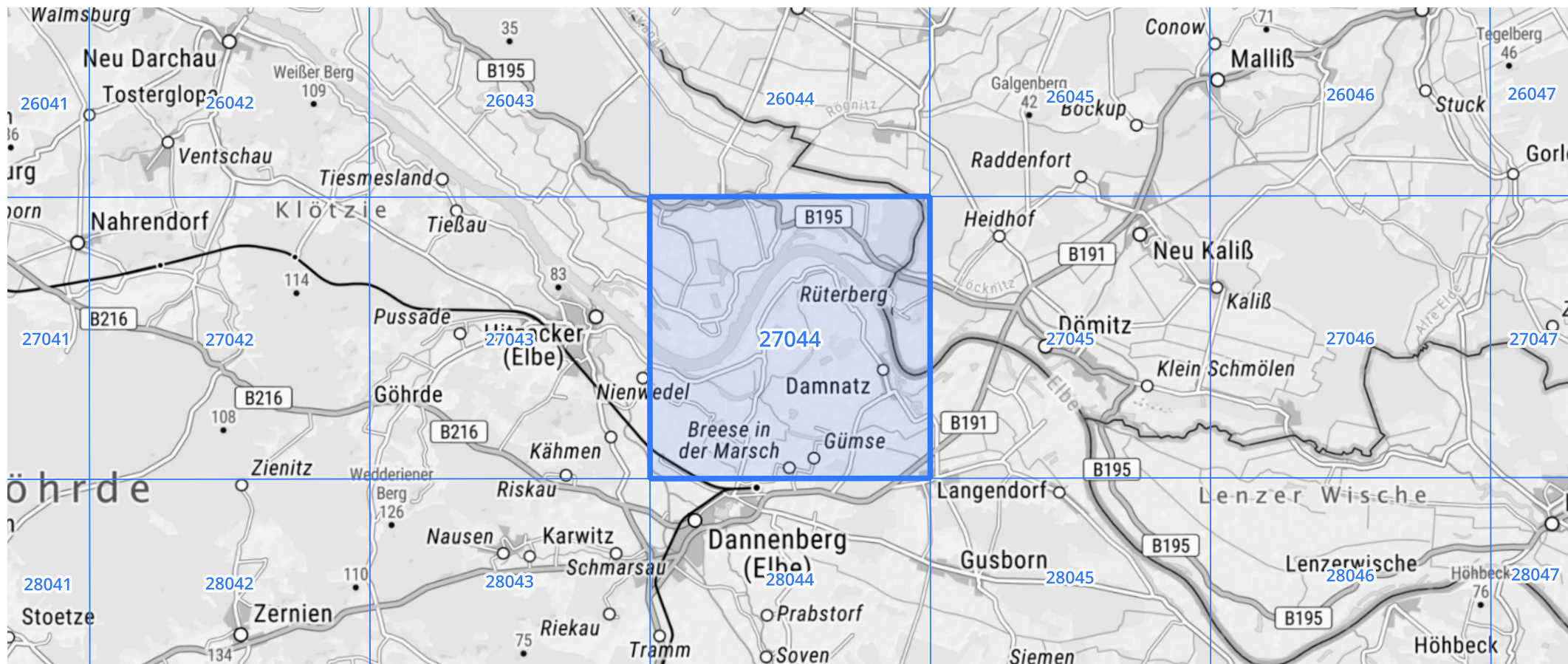
Auswertungszeitraum von 1951 - 2010, Januar - Dezember

Rasterfeld: 27044

Zeile: 27

Spalte: 44

Seite: 2/2



Quelle Rasterdaten: KOSTRA-DWD-2010R des Deutschen Wetterdienstes.

Kartendarstellung: © Bundesamt für Kartographie und Geodäsie (2022), Datenquellen: https://sgx.geodatenzentrum.de/web_public/gdz/datenquellen/Datenquellen_TopPlusOpen.html

Für die Richtigkeit und Aktualität der Angaben wird keine Gewähr übernommen. Erstellt 07/2022.